

МИНОБРНАУКИ РОССИИ

Федеральное государственное бюджетное образовательное учреждение высшего образования

НИЖЕГОРОДСКИЙ ГОСУДАРСТВЕННЫЙ ТЕХНИЧЕСКИЙ

УНИВЕРСИТЕТ им. Р.Е.АЛЕКСЕЕВА



Институт радиоэлектроники и информационных технологий

ОТЧЕТ

по лабораторной работе №1

«Исследование свойств типового звена W4»

по дисциплине

«Основы теории управления»

РУКОВОДИТЕЛЬ:

(подпись)

Никулин.Е.А.
(фамилия, и.,о.)

СТУДЕНТ:

(подпись)

Сухоруков В.А.
(фамилия, и.,о.)

(подпись)

Мосташов В.С.
(фамилия, и.,о.)

19-ВМ
(шифр группы)

Работа защищена «__» _____

С оценкой _____

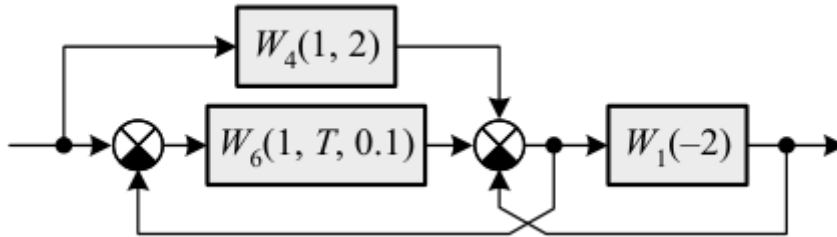
Нижний Новгород 2022

Цель работы

Исследовать все свойства типового звена W_4 , вывести и построить графики частотных и временных характеристик. Синтезировать схему на операционном усилителе.

Исходные данные

Вариант 6:



$$W_4(K, T) = \frac{K}{1 + Ts}$$

$$W_4(1, 2) = \frac{1}{1 + 2s}$$

Ход работы

1 Вывод функционального уравнения

$$Y(s) = X(s) * W(s) = X(s) * \frac{B(s)}{A(s)} = X(s) * \frac{1}{1 + 2s}$$

$$Y(s) + 2s * Y(s) = X(s)$$

Заменяем s на $\frac{d}{dt}$.

$$y(t) + 2 * y(t)' = x(t)$$

$y(t) + 2 * y(t)' - x(t) = 0$ – Дифференциальное уравнение первого порядка.

2 Вывод частотных характеристик

❖ Комплексная частотная характеристика:

$$\begin{aligned} C(\omega) = W(i\omega) &= \frac{K}{1 + Ti\omega} = \frac{K * (1 - Ti\omega)}{(1 + Ti\omega) * (1 - Ti\omega)} = \frac{K - KT i\omega}{1 + T^2\omega^2} = \\ &= \frac{K}{1 + T^2\omega^2} - \frac{KT\omega}{1 + T^2\omega^2} * i \end{aligned}$$

При $K=1, T=2$

$$C(\omega) = \frac{1}{1 + 4\omega^2} - \frac{2}{1 + 4\omega^2} i$$

❖ Вещественная частотная характеристика:

$$P(\omega) = \operatorname{Re}(C(\omega)) = \operatorname{Re}\left(\frac{K}{1 + T^2\omega^2} - \frac{KT\omega}{1 + T^2\omega^2} * i\right) = \frac{K}{1 + T^2\omega^2}$$

При K=1, T=2

$$P(\omega) = \frac{1}{1 + 4\omega^2}$$

❖ Мнимая частотная характеристика:

$$Q(\omega) = \operatorname{Im}(C(\omega)) = \operatorname{Im}\left(\frac{K}{1 + T^2\omega^2} - \frac{KT\omega}{1 + T^2\omega^2} * i\right) = -\frac{KT\omega}{1 + T^2\omega^2}$$

При K=1, T=2

$$Q(\omega) = \frac{-2\omega}{1 + 4\omega^2}$$

❖ Амплитудно-частотная характеристика

$$\begin{aligned} A(\omega) = |C(\omega)| &= \sqrt{P^2(\omega) + Q^2(\omega)} = \sqrt{\left(\frac{K}{1 + T^2\omega^2}\right)^2 + \left(\frac{-KT\omega}{1 + T^2\omega^2}\right)^2} = \\ &= \sqrt{\frac{K^2 + K^2T^2\omega^2}{(1 + T^2\omega^2)^2}} = \sqrt{\frac{K^2(1 + T^2\omega^2)}{(1 + T^2\omega^2)^2}} = \sqrt{\frac{K^2}{1 + T^2\omega^2}} = \frac{|K|}{\sqrt{1 + T^2\omega^2}} \end{aligned}$$

При K=1, T=2

$$A(\omega) = \frac{1}{\sqrt{1 + 4\omega^2}}$$

$$\omega: = 0, 0.01 \dots 100$$

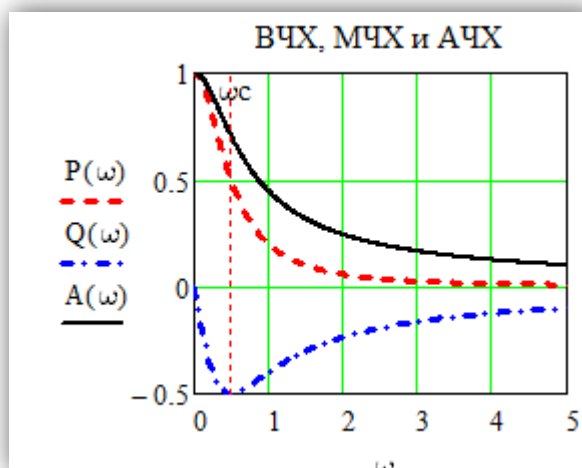


Рис 1.

$$\omega_c = \frac{1}{T} = \frac{1}{2} = 0.5$$

❖ Логарифмическая амплитудно-частотная характеристика

$$L(\omega) = 20 \log(A(\omega)) = 20 \log\left(\frac{|K|}{\sqrt{1 + T^2 \omega^2}}\right) = 20 \log(|K|) - 10 \log(1 + T^2 \omega^2)$$

При $K=1, T=2$

$$L(\omega) = 20 \log(1) - 10 \log(1 + 4^2 \omega^2) = -10 \log(1 + 4^2 \omega^2)$$

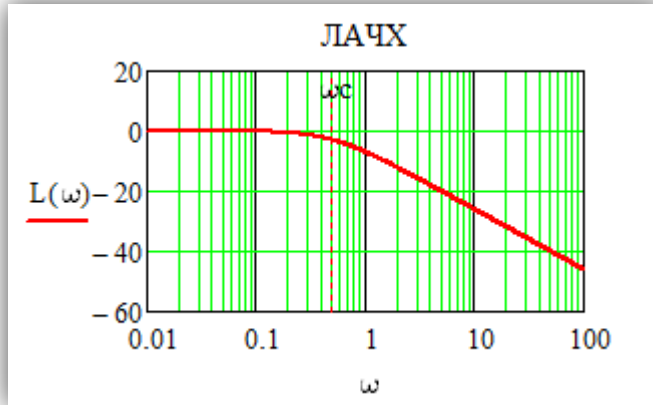


Рис 2.

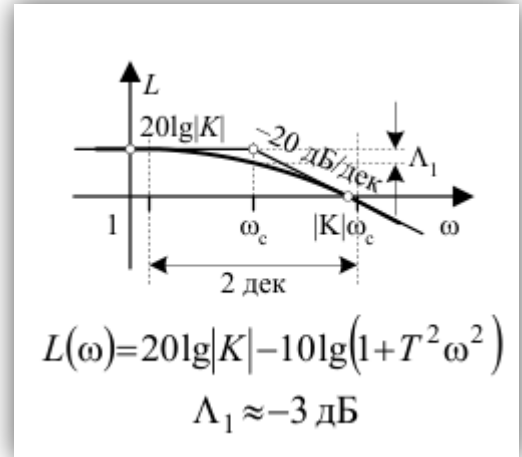


Рис 3.

Проверим правильность построения графика по таблице «Приложение 1. Частотные и временные характеристики типовых звеньев» (Рис 3).

$$20 \lg(|K|) = 20 \lg(1) = 0$$

$\omega_c = \frac{1}{T} = \frac{1}{2} = 0.5$ – частота, при которой логарифмическое усиление амплитуды равно -3дБ.

При изменении частоты от $\omega_1 = \frac{\omega_c}{10} = 0.05$ до $\omega_2 = \omega_c * 10 = 5$ амплитуда колебания уменьшается на 20 дБ.

График построен верно.

❖ Логарифмическая фазо-частотная характеристика

$$\Phi(\omega) = \arctg(C(\omega)) = \arctg\left(\frac{Q(\omega)}{P(\omega)}\right) =$$

$$= \begin{cases} \arctg\left(-\frac{KT\omega}{1 + T^2 \omega^2} : \frac{K}{1 + T^2 \omega^2}\right) & \text{при } K > 0 \\ \arctg\left(-\frac{KT\omega}{1 + T^2 \omega^2} : \frac{K}{1 + T^2 \omega^2}\right) \pm 180^\circ & \text{при } K < 0 \end{cases} =$$

$$= \begin{cases} \arctg(-T\omega) & \text{при } K > 0 \\ \arctg(-T\omega) \pm 180^\circ & \text{при } K < 0 \end{cases} = \begin{cases} -\arctg(T\omega) & \text{при } K > 0 \\ -\arctg(T\omega) \pm 180^\circ & \text{при } K < 0 \end{cases}$$

При $K=1, T=2$

$$\Phi(\omega) = \operatorname{arctg}(-2\omega)$$

Задание функции в Mathcad:

$$\varphi(\omega) := \arg(C(\omega)) \cdot \deg^{-1}$$

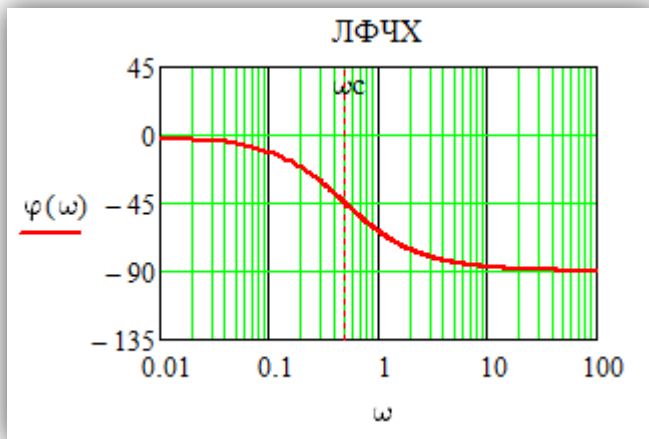


Рис 4.

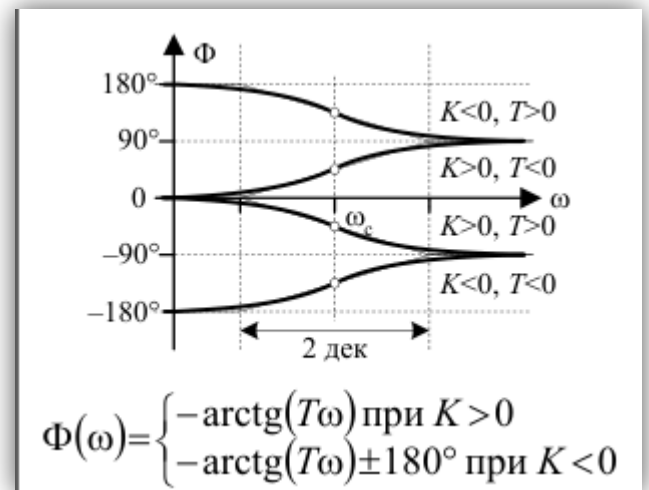


Рис 5.

Проверим правильность построения графика по таблице «Приложение 1. Частотные и временные характеристики типовых звеньев» (Рис 5).

График построен верно.

❖ Годограф

$$P(\omega) = \frac{1}{1 + 4\omega^2}, Q(\omega) = \frac{-2\omega}{1 + 4\omega^2}$$

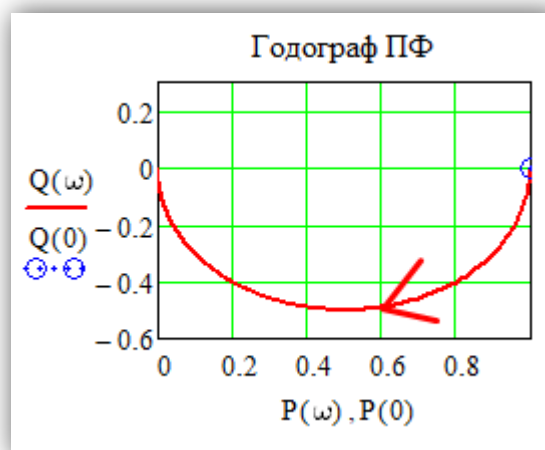


Рис 6.

3 Вывод временных характеристик

❖ Импульсная характеристика

$$w(t) = L^{-1}(W(s)) = L^{-1}\left(\frac{K}{1+Ts}\right) = K * L^{-1}\left(\frac{1}{1+Ts}\right)$$

По таблице обратного преобразования Лапласа, изображение $F(s) = \frac{1}{1+Ts}$ соответствует оригиналу $f(t) = \alpha e^{-\alpha t}$, где $\alpha = \frac{1}{T}$.

При $K=1$, $T=2$

$$w(t) = 1 * \frac{1}{2} e^{-\frac{1}{2}t}$$

Задание функций в Mathcad:

$$\epsilon := 0.01 \quad \delta(t) := \frac{0 \leq t \leq \epsilon}{\epsilon}$$

$$w1(t) := W(s) \left| \begin{array}{l} \text{invlaplace, s} \\ \text{float, 3} \end{array} \right. \rightarrow 0.5 \cdot e^{-0.5 \cdot t}$$

$$w(t) := w1(t) \cdot \Phi(t)$$

$$ty := 3T \text{ float, 3} \rightarrow 6.0 \quad t := -5, -4.99 \dots 20$$

$$w0 := \lim_{t \rightarrow 0} w1(t) \rightarrow 0.5$$

$$wy := \lim_{t \rightarrow \infty} w1(t) \rightarrow 0.0$$

$$\Delta 1 := |wy - w0| \cdot 5\% \text{ float, 3} \rightarrow 0.025$$

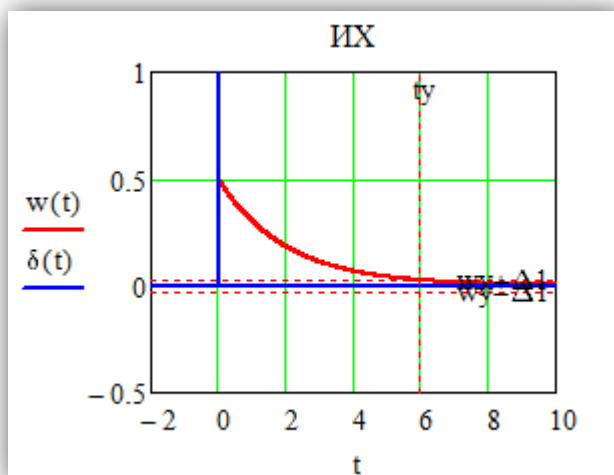


Рис 7.

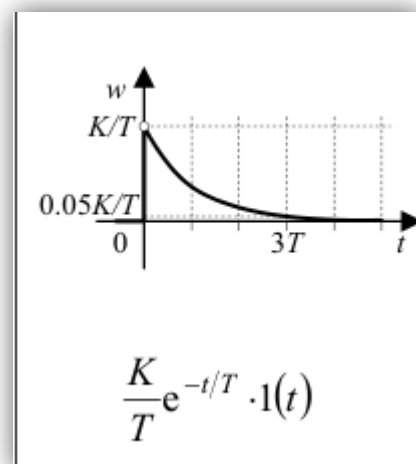


Рис 8.

Проверим правильность построения графика по таблице «Приложение 1. Частотные и временные характеристики типовых звеньев» (Рис 8).

$$K/T = 1/2 = 0.5, \quad t_y = 3T = 6$$

График построен верно.

❖ Переходная характеристика

$$h(t) = L^{-1}\left(\frac{W(s)}{s}\right) = L^{-1}\left(\frac{K}{s(1+Ts)}\right) = K * L^{-1}\left(\frac{1}{s(1+Ts)}\right)$$

По таблице обратного преобразования Лапласа, изображение $F(s) = \frac{1}{s(1+Ts)}$ соответствует оригиналу $f(t) = 1 - e^{-\alpha t}$, где $\alpha = \frac{1}{T}$.

При $K=1, T=2$

$$h(t) = 1 * (1 - e^{-\frac{1}{2}t})$$

Задание функций в Mathcad:

$$h(t) := \frac{W(s)}{s} \quad \left| \begin{array}{l} \text{invlaplace, } s \\ \text{float, } 3 \end{array} \right. \rightarrow -1.0 \cdot e^{-0.5 \cdot t} + 1.0$$

$$\underline{h}(t) := h(t) \cdot \Phi(t)$$

$$t_y := 3T \text{ float, } 3 \rightarrow 6.0 \quad t := -5, -4.99 \dots 20$$

$$h_0 := \lim_{t \rightarrow 0} h(t) \rightarrow 0 \quad h_y := \lim_{t \rightarrow \infty} h(t) \rightarrow 1.0$$

$$\Delta := |h_y - h_0| \cdot 5\% \text{ float, } 3 \rightarrow 0.05$$

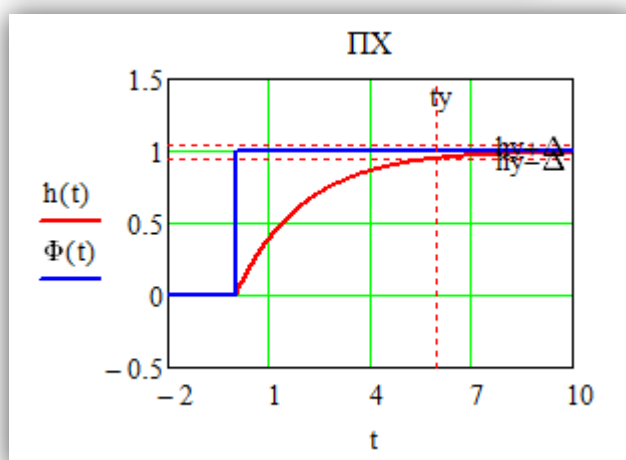


Рис 9.

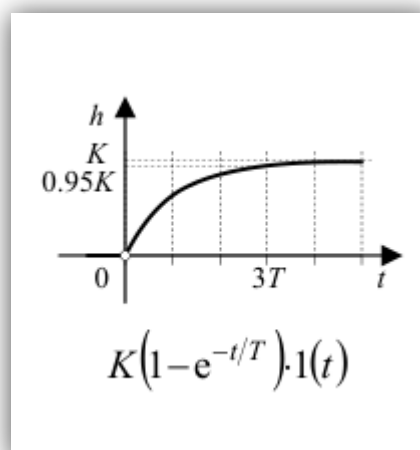


Рис 10.

Проверим правильность построения графика по таблице «Приложение 1. Частотные и временные характеристики типовых звеньев» (Рис 10).
 $0.95K = 0.95$, $t_y = 3T = 6$

График построен верно.

4 Синтез схемы на операционном усилителе

Передаточная функция:

$$W_4(1,2) = \frac{1}{1 + 2s}$$

Вычислим суммы коэффициентов усиления по прямому и инверсному входам

$$S_1(s) = \frac{1}{1 + 2s} \quad S_2(s) = 0$$

Условие баланса:

$$S_1(s) = S_2(s) + 1$$

$$\frac{1}{1 + 2s} \neq 0 + 1$$

Условие баланса не выполняется, значит нужно подобрать передаточные функции $W_{10}(s)$ и $W_{20}(s)$ с положительными коэффициентами, удовлетворяющие условию
 $S_1(s) + W_{10}(s) = S_2(s) + 1 + W_{20}(s)$

$$\frac{1}{1 + 2s} + W_{10}(s) = 1 + W_{20}(s)$$

Для оптимальной схемы предположим $W_{20}(s) = 0$.

$$W_{10}(s) = 1 - \frac{1}{1 + 2s} = \frac{2s}{1 + 2s}$$

Полиномы числителя и знаменателя с положительными коэффициентами, следовательно, предположение верно и $W_{20}(s) = 0$.

Эскизная схема имеет вид:

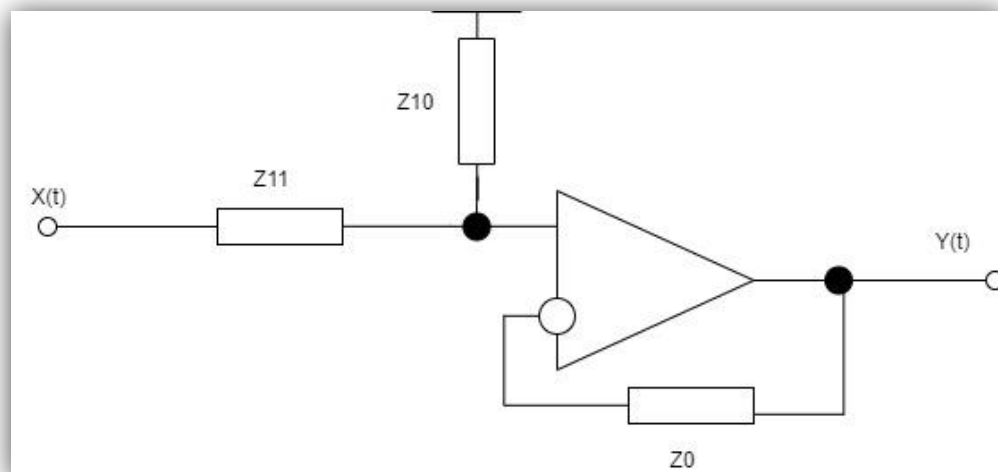


Рис 11.

Для инверсного входа:

$$W_0 * Z_0 = const$$

$$1 * Z_0 = const$$

1. В качестве константы можно взять любое неотрицательное число. Возьмем константу равную нулю, тогда сопротивление $Z_0 = 0$ Ом.

2. Z_0 можно заменить проводом, поскольку входное сопротивление идеального ОУ бесконечно велико, и входной ток равен нулю.

Для прямого входа:

$$W_{10} * Z_{10} = W_{11} * Z_{11} = const$$

$$\frac{2s}{1+2s} * Z_{10} = \frac{1}{1+2s} * Z_{11} = const$$

$$Z_{11} = 2s * Z_{10}$$

Возьмём Z_{10} равное сопротивлению конденсатора $= \frac{1}{C_{10}s}$, так как при таком выборе в уравнении сократится s .

$$Z_{11} = \frac{2s}{C_{10}s} = \frac{2}{C_{10}}$$

Из полученного соотношения видно, что удобно взять: $Z_{11} = R_{11} = \frac{2}{C_{10}}$.

Возьмем $C_{10} = 1$ мкФ, тогда $R_{11} = 2$ МОм.

Получим схему:

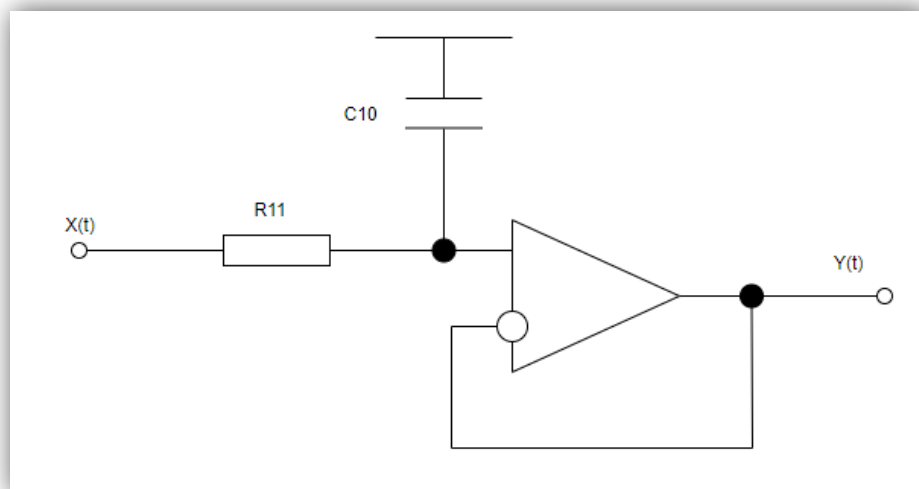


Рис 12.

Проверим правильность построения схемы по таблице «Приложение 2. Схемы каскадов на ОУ» (Рис 13). Схема соответствует строке 2, столбцу б.

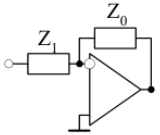
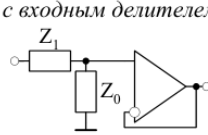
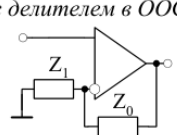
№ п/п	Элементы схемы		Принципиальная схема и её передаточная функция		
	Z_1	Z_0	а) инвертирующий каскад  $-\frac{Z_0(s)}{Z_1(s)}$	б) неинвертирующий каскад с входным делителем  $\frac{Z_0(s)}{Z_0(s) + Z_1(s)}$	в) неинвертирующий каскад с делителем в ООС  $1 + \frac{Z_0(s)}{Z_1(s)}$
1	R_1	R_0	$-\frac{R_0}{R_1}$	$\frac{R_0}{R_0 + R_1}$	$1 + \frac{R_0}{R_1}$
2	R_1	C_0	$-\frac{1}{T_{10}s}$	$\frac{1}{1 + T_{10}s}$	$\frac{1 + T_{10}s}{T_{10}s}$

Рис 13.

5 Использование программы WorkBench

5.1 Синтез и сборка схемы моделирования на ОУ в EWB

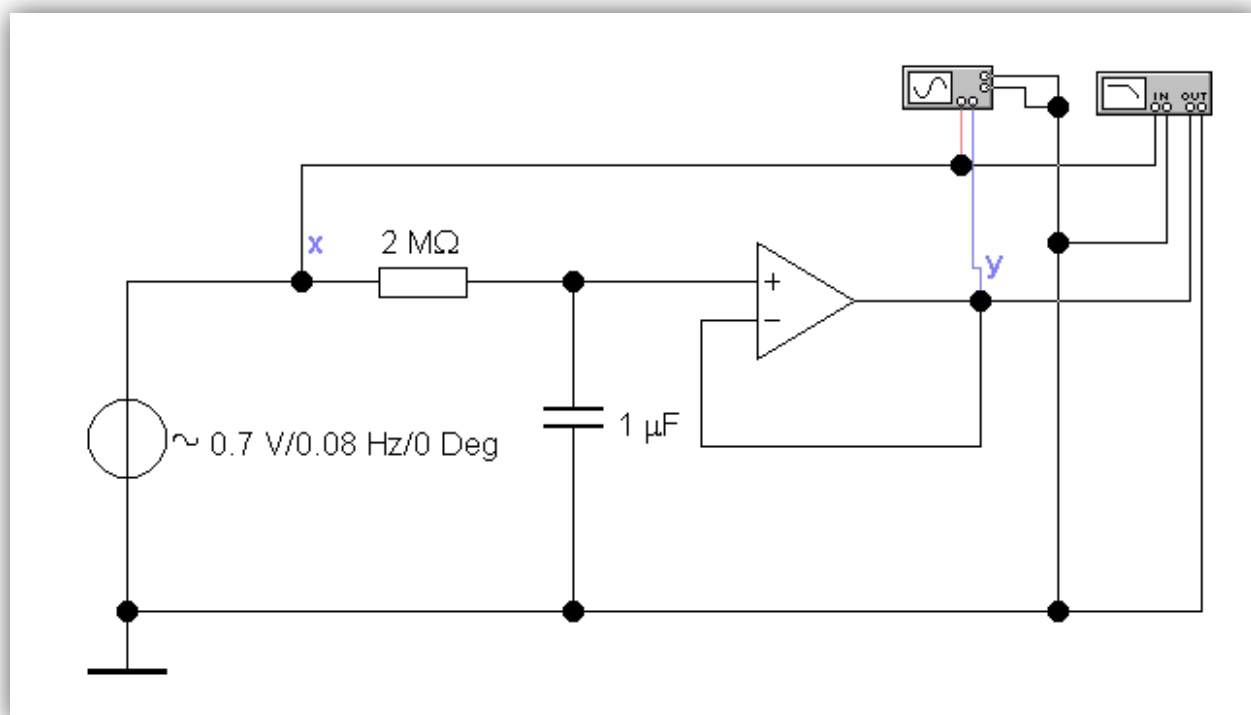


Рис 14.

5.2 Исследование частотных характеристик

Заполним таблицу значений логарифмического усиления L , линейного усиления A и фазового сдвига φ для средних, низких и высоких частот.

$$\text{Частота сопряжения } \omega_c = \frac{1}{T} = \frac{1}{2} = 0,5 \frac{\text{рад}}{\text{с}} = \frac{0,5}{2\pi} \text{ Гц} \approx 0,08 \text{ Гц} = f_{cp} -$$

это средняя частота. $T_k = 2\pi T \approx 12,6 \text{ сек}$

Низкая частота $f_n = 0,1 * f_{cp} \approx 0,008 \text{ Гц}$. $T_k \approx 126 \text{ сек}$

Высокая частота $f_v = 10 * f_{cp} \approx 0,8 \text{ Гц}$. $T_k \approx 1,26 \text{ сек}$

Для этого на генераторе гармонических колебаний установим

❖ амплитуду $A_x = 1 \text{ В}$,

❖ значение напряжения установим равное значению действующего напряжения,

❖ фазу сигнала равную 0°

и поочередно будем менять значение частоты.

Действующее значение переменного тока равно величине такого постоянного тока, который за время, равное одному периоду переменного тока, произведёт такую же работу, что и рассматриваемый переменный ток.

Работа постоянного тока равна:

$$A = \int_0^T U_d I_d dt = \int_0^T \frac{U_d^2}{R} dt$$

Работа переменного тока равна:

$$A = \int_0^T UI dt = \int_0^T \frac{U_m^2 * \sin^2(\omega t)}{R} dt$$

Тогда,

$$\int_0^T \frac{U_d^2}{R} dt = \int_0^T \frac{U_m^2 * \sin^2(\omega t)}{R} dt$$

$$\int_0^T U_d^2 dt = \int_0^T U_m^2 * \sin^2(\omega t) dt$$

$$U_d^2 T = \frac{-U_m^2 * (\sin(2\omega T) - 2T\omega)}{4\omega}$$

$$U_d = \sqrt{\frac{-U_m^2 * (\sin(2\omega T) - 2T\omega)}{4\omega T}}$$

Среднее значение функции $\sin(2\omega T)$ за период колебания равно нулю, поэтому

$$U_d = \sqrt{\frac{U_m^2 * 2T\omega}{4\omega T}} = \frac{U_m}{\sqrt{2}} = U_m * 0,707$$

На осциллографе строятся графики входного $x(t) = A_x \sin(2\pi ft)$ и выходного $y(t) = A_y \sin(2\pi ft)$, по которым в установившемся режиме измеряются амплитуда A_y , фазовый сдвиг φ , и вычисляется коэффициент усиления $A = A_y/A_x$.

Время установления $t_y = 3T = 3 \cdot 2 = 6(\text{с})$.

Приведем графики для 3 частот с измерениями после времени установления.

❖ Низкая частота

Значение амплитуды получим с помощью инструмента «Analysis Graphs».

$$A = \frac{A_y}{A_x} = \frac{989.9217 \text{ mV}}{989.9817 \text{ mV}} \approx 0,99$$

- Общий график

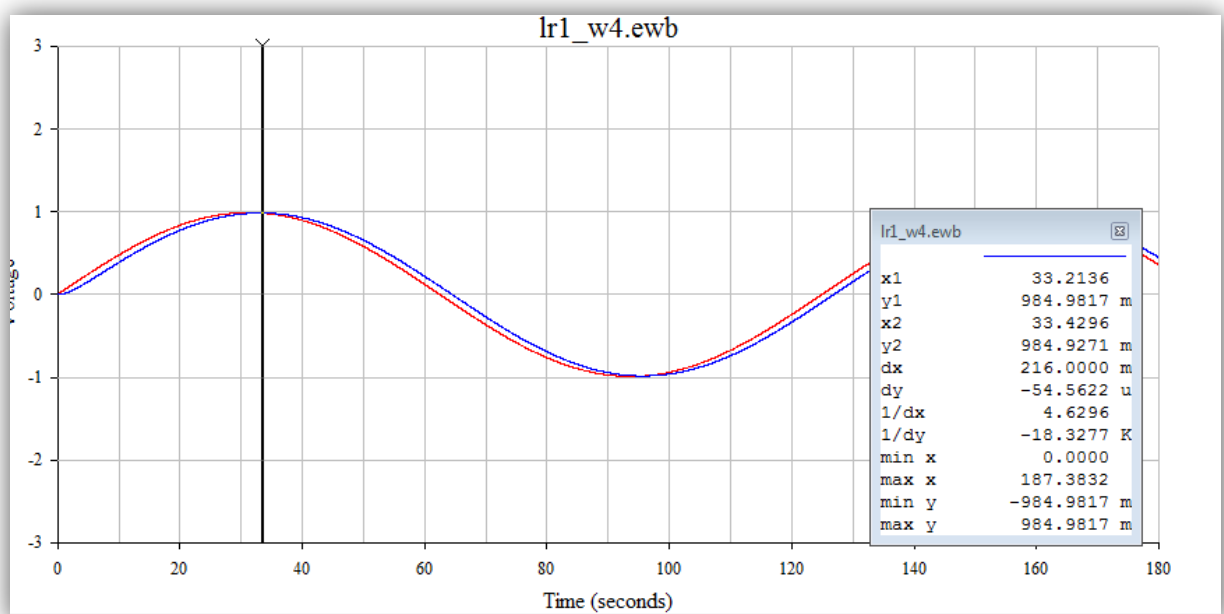


Рис 15.

Для повышения точности измерения фазового сдвига используем окно осциллографа.

$\varphi = -\Delta t * f * 360^\circ$, значит необходимо узнать Δt . Увеличим масштаб графиков до 20мВ на деление. Установим движки на те моменты, когда графики пересекают ось времени. Тогда Δt будет равно $T_2 - T_1 = 1,944$ сек.

- Моменты времени, когда $x(t)=0$ и $y(t)=0$

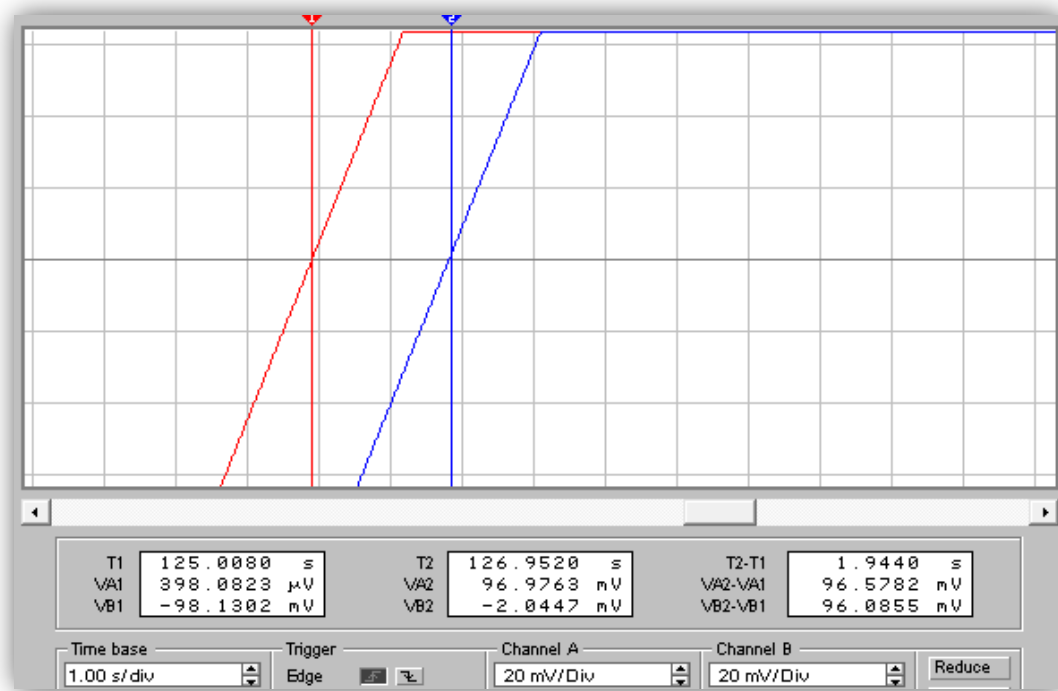


Рис 16.

$$\varphi = -\Delta t * f * 360^\circ \approx -5,59^\circ$$

$$L = 20 \lg(A) \approx -0,08 \text{ Дб}$$

- ❖ Средняя частота
- Общий график

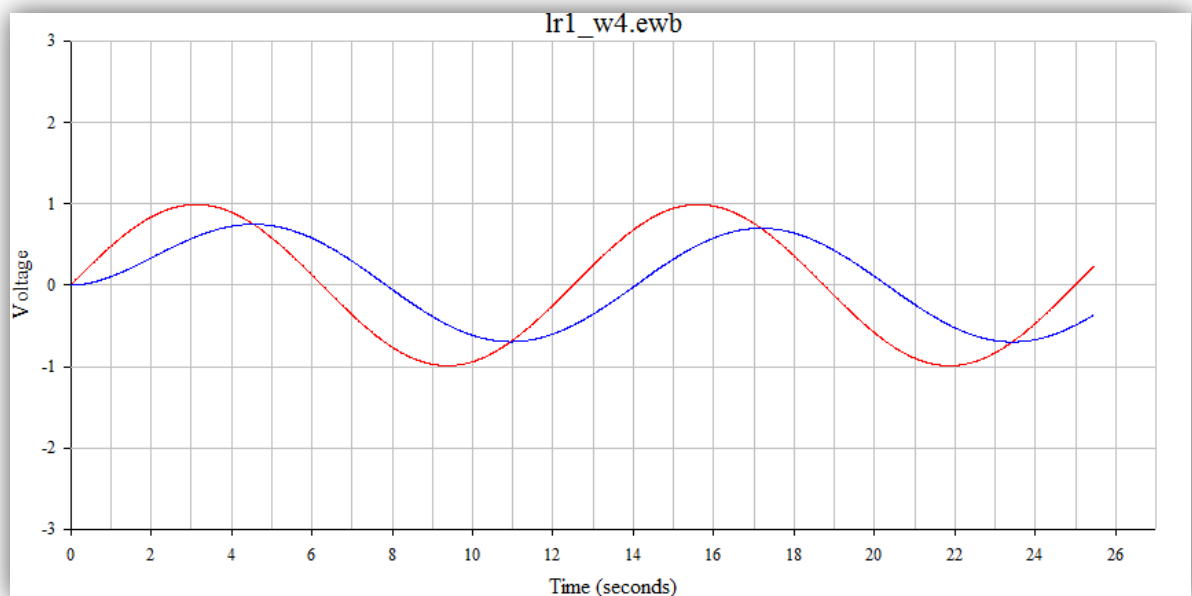


Рис 17.

- Моменты времени, когда $x(t)=0$ и $y(t)=0$

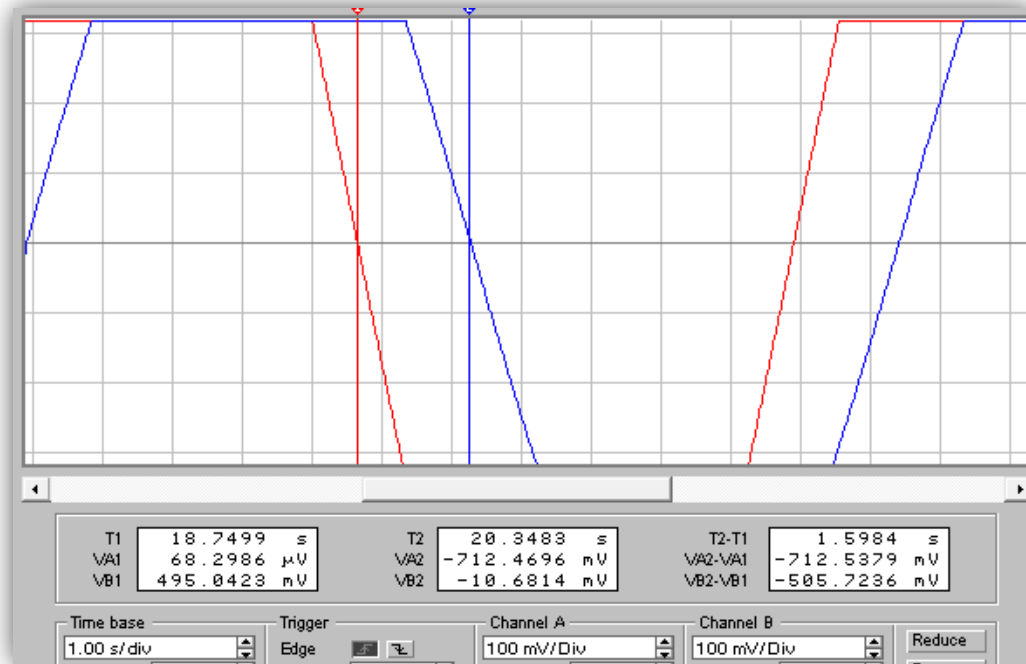


Рис 18.

- Моменты времени, когда $x(t)=A_x$ и $y(t)=A_y$

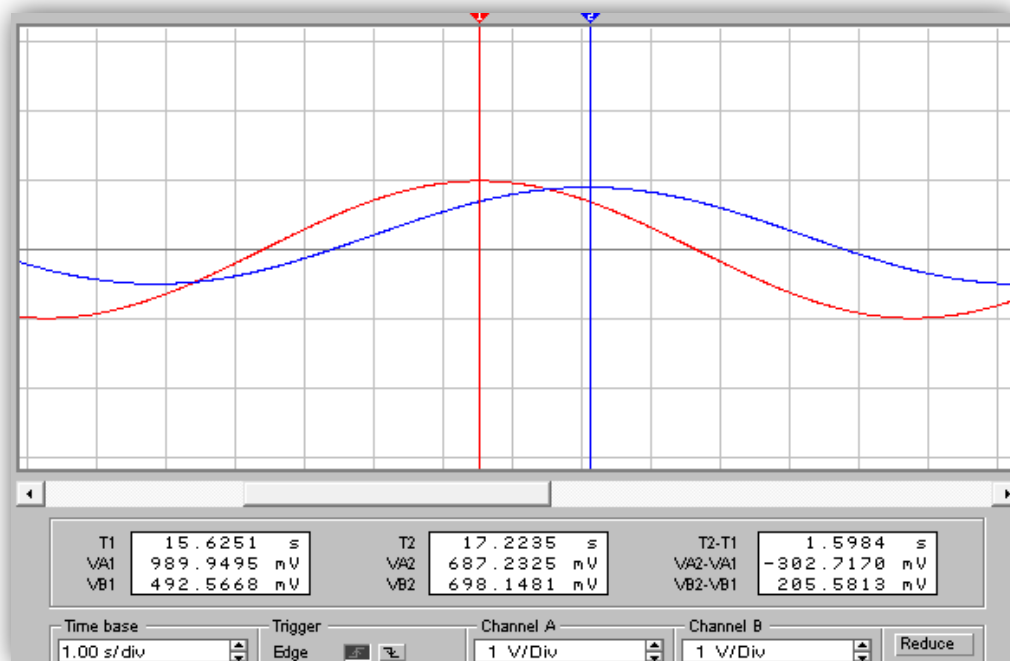


Рис 19.

$$A = \frac{A_y}{A_x} = \frac{698.1481 \text{ mV}}{989.9495 \text{ mV}} \approx 0.705$$

$$\Delta t = 1,5984 \text{ сек} \quad \varphi = -\Delta t * f * 360^\circ \approx -46,03^\circ$$

$$L = 20 \lg(A) \approx -3,03 \text{ дБ}$$

- ❖ Высокая частота
- Общий график

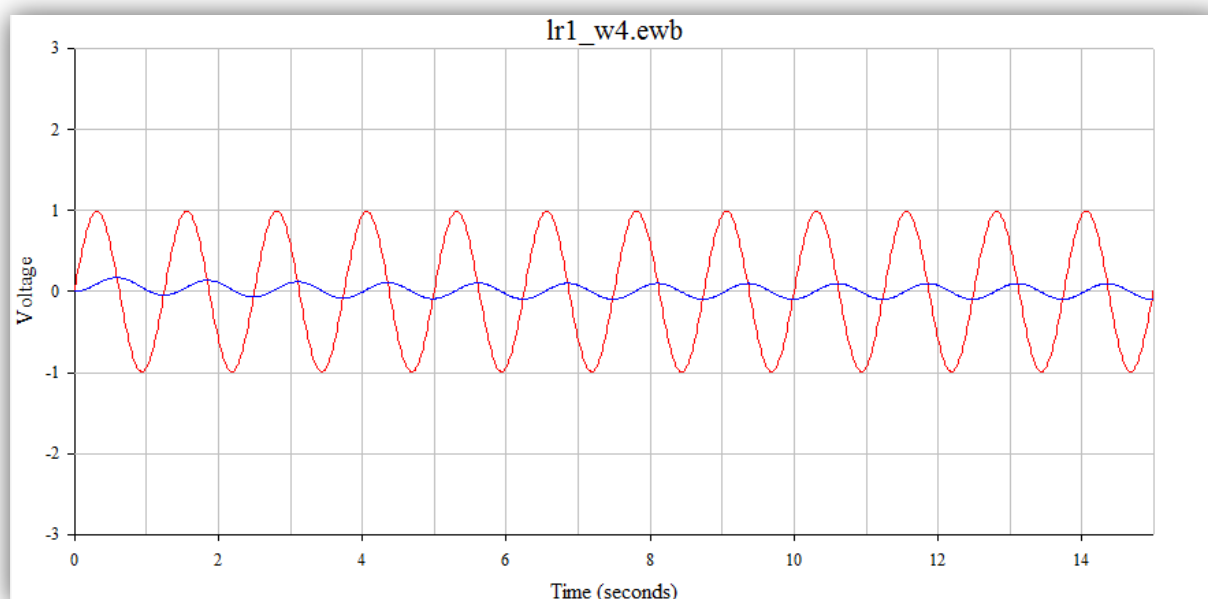


Рис 20.

- Моменты времени, когда $x(t)=0$ и $y(t)=0$

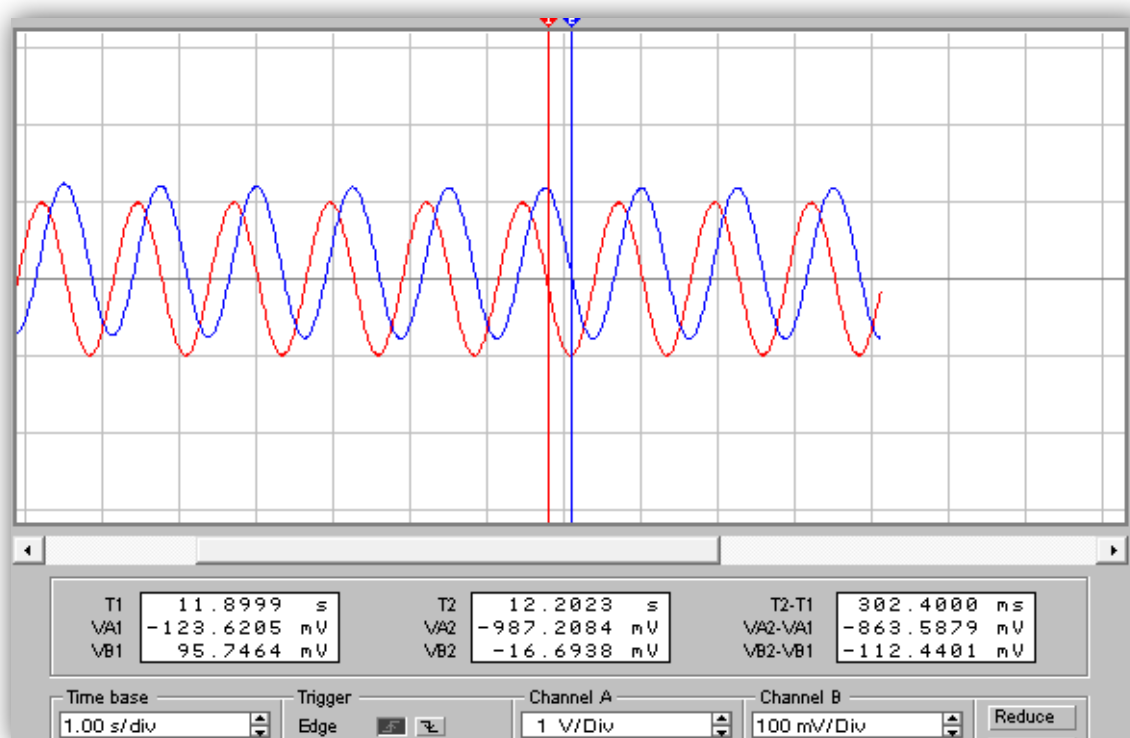


Рис 21.

- Моменты времени, когда $x(t)=Ax$ и $y(t)=Ay$

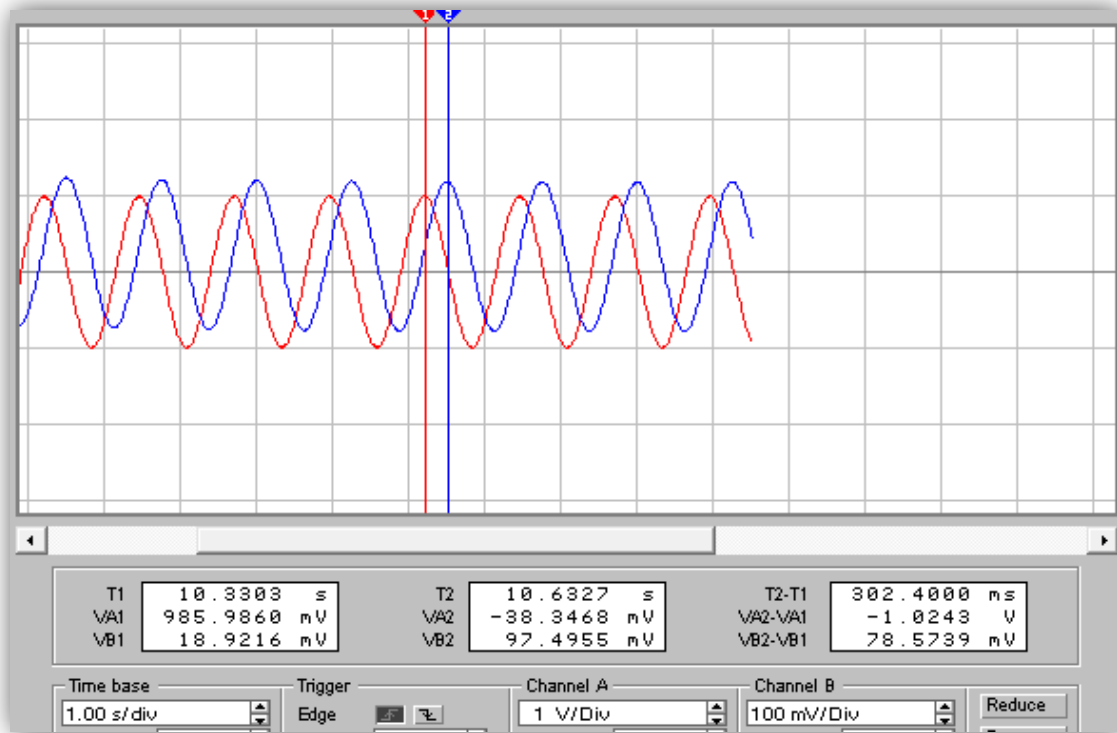


Рис 22.

$$A = \frac{A_y}{A_x} = \frac{97.4955 \text{ mV}}{989.9495 \text{ mV}} \approx 0.099$$

$$\Delta t = 0,3024 \text{ сек} \quad \varphi = -\Delta t * f * 360^\circ \approx -87.09^\circ$$

$$L = 20 \lg(A) \approx -20,09 \text{ дБ}$$

Частота, Гц	L, дБ	A	$\varphi, ^\circ$
$f_n \approx 0,008$	-0,08	0,99	-5,59
$f_{cp} \approx 0,08$	-3,03	0.705	-46,03
$f_v \approx 0,8$	-20,09	0.099	-87.09

Таблица 1.

Объяснение свойств выходного сигнала: Собранная схема является фильтром нижних частот. Фильтр нижних частот (ФНЧ) — фильтр, эффективно пропускающий частотный спектр сигнала ниже некоторой частоты (частоты среза) и подавляющий частоты сигнала выше этой частоты.

При частоте $f_n=0,008$ Гц выходной сигнал $y(t)$ копирует сигнал $x(t)$ с небольшим отставанием.

При частоте $f_{cp}=0,08$ Гц линейный коэффициент усиления равен 0,71 – низкие частоты пропускаются через фильтр, а средние частоты уменьшаются в $\sqrt{2}$ раза.

При высокой частоте 0,8 Гц сигнал на выходе составляет \approx одну десятую входного сигнала – высокие частоты не пропускаются через фильтр.

Электронные фильтры нижних частот используются на входах сабвуферов и других типов громкоговорителей, чтобы блокировать высокие тона, которые они не могут эффективно воспроизводить. В радиопередатчиках используются фильтры нижних частот для блокирования гармонических излучений, которые могут создавать помехи другим средствам связи.

Объяснение свойств выходного сигнала при высокой частоте:

«Растянем» выходной сигнал $y(t)$ в 10 раз. Как можно увидеть на графике, выходной сигнал «сползает» по оси напряжения после времени установления (6 сек).

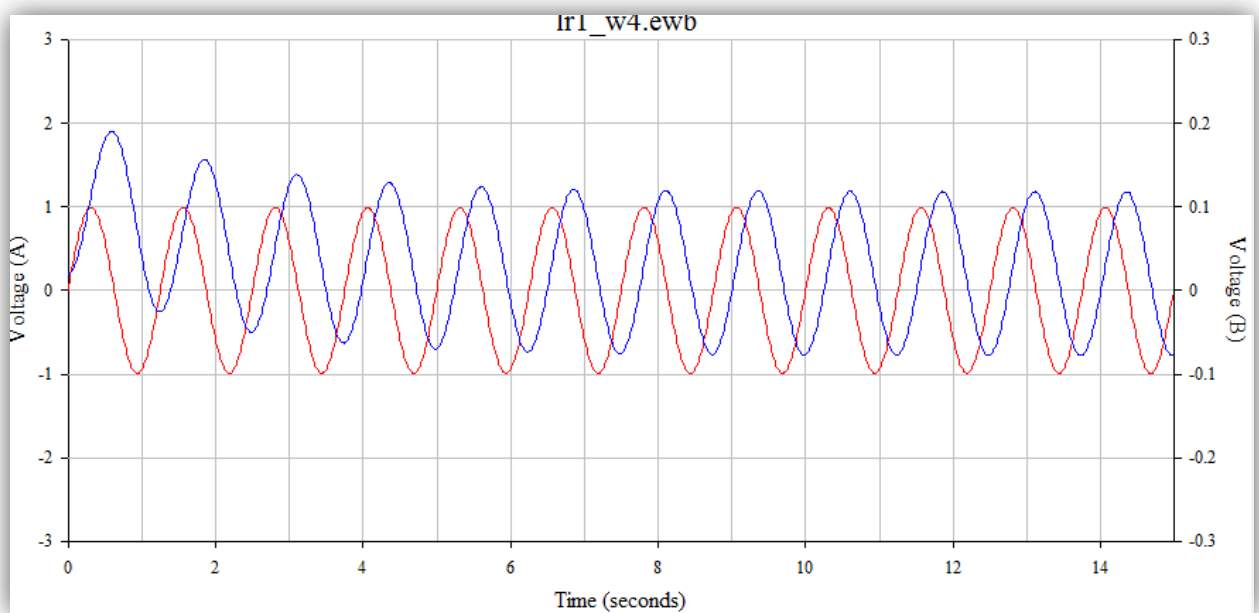


Рис 23.

Выведем формулу выходного сигнала.

$$Y(s) + 2s * Y(s) = X(s)$$

Оригинал $x(t) = \sin(\omega t) \rightarrow$ Изображение $X(s) = \frac{T}{1 + T^2 s^2}$

$$Y(s) * (1 + 2s) = \frac{T}{1 + T^2 s^2}$$

$$Y(s) = \frac{T}{(1 + T^2 s^2)(1 + 2s)}$$

Вычислим значение $y(t)$ с помощью Mathcad.

$$Y(s) := \frac{T}{(1 + T^2 \cdot s^2) \cdot (1 + 2s)} \rightarrow \frac{2}{(4 \cdot s^2 + 1) \cdot (2 \cdot s + 1)}$$

$$y(t) := Y(s) \left| \begin{array}{l} \text{invlaplace, } s \\ \text{float, } 3 \end{array} \right. \rightarrow -0.5 \cdot \cos(0.5 \cdot t) + 0.5 \cdot e^{-0.5 \cdot t} + 0.5 \cdot \sin(0.5 \cdot t)$$

В формуле выходного сигнала как слагаемое присутствует экспонента в отрицательной степени. Колебания происходят относительно значения экспоненты. При уменьшении значения экспонаты, график «сползает» вниз.

5.3 Сравнение полученных значений с графиками, построенными в Mathcad

Для проверки соответствия данных, полученных двумя способами, воспользуемся функцией «Трассировка» в программе Mathcad.

❖ Низкая частота

$$f_H \approx 0,008 \text{ Гц} \approx 0,05 \text{ Рад/с}$$

- Линейное усиление – Значение совпадает.

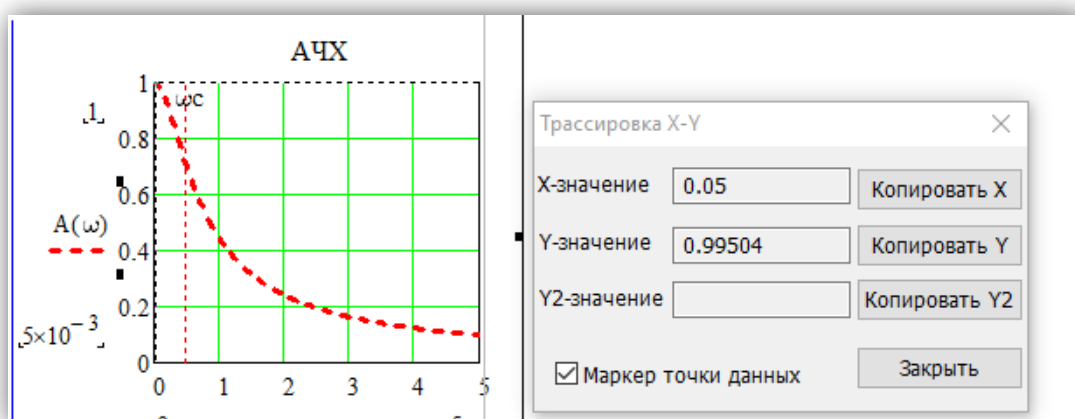


Рис 24.

- Логарифмическое усиление – Значение совпадает.

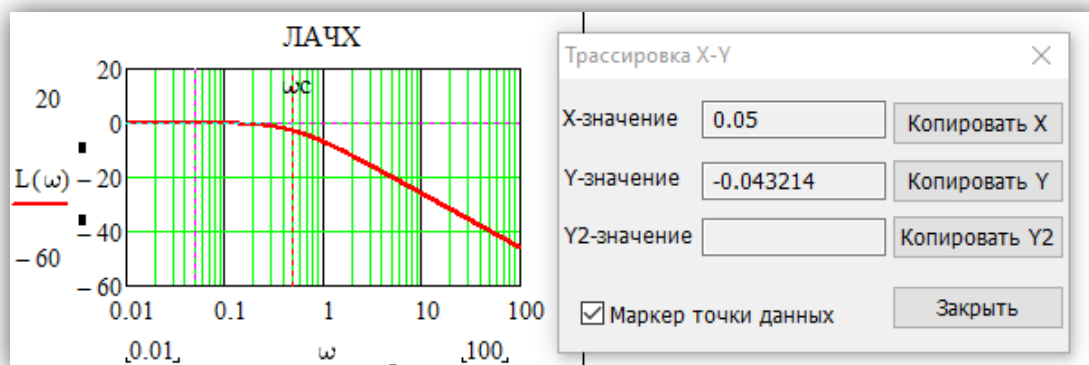


Рис 25.

- Фазовый сдвиг – Значение совпадает.

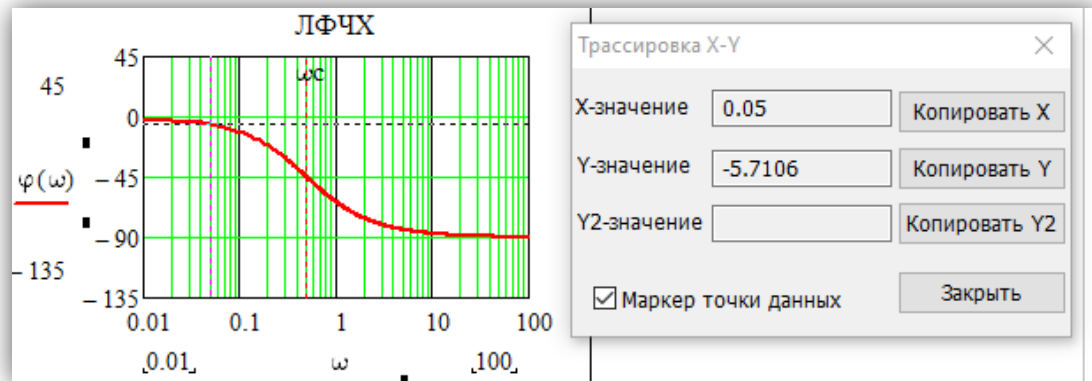


Рис 26.

❖ **Средняя частота**

$f_{cp} \approx 0,08$ Гц $\approx 0,5$ Рад/с

- Линейное усиление – Значение совпадает.

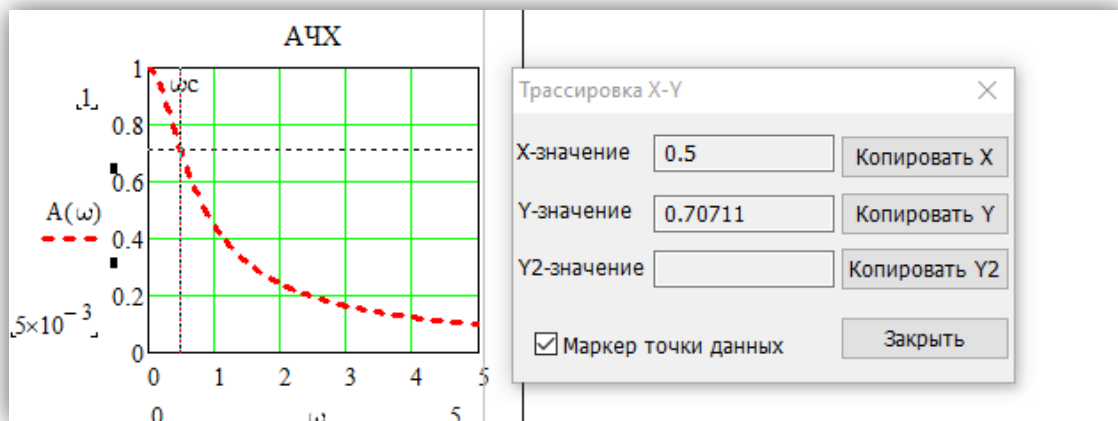


Рис 27.

- Логарифмическое усиление – Значение совпадает

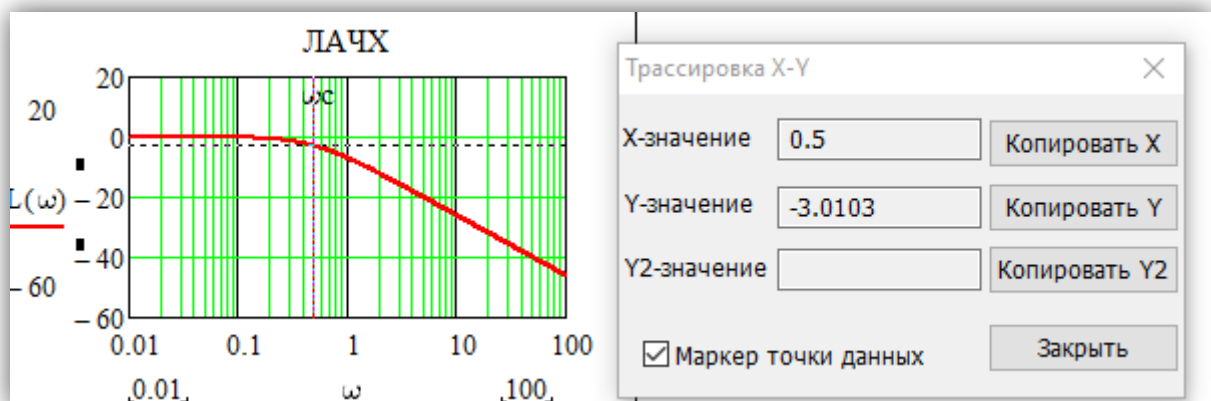


Рис 28.

- Фазовый сдвиг – Значение совпадает.

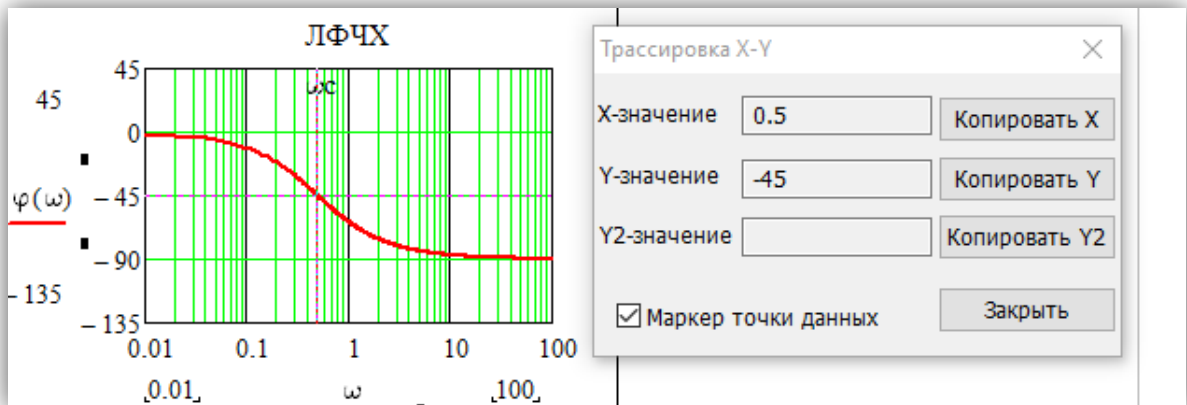


Рис 29.

❖ Высокая частота

$f_B \approx 0,8 \text{ Гц} \approx 5 \text{ Рад/с}$

- Линейное усиление – Значение совпадает.

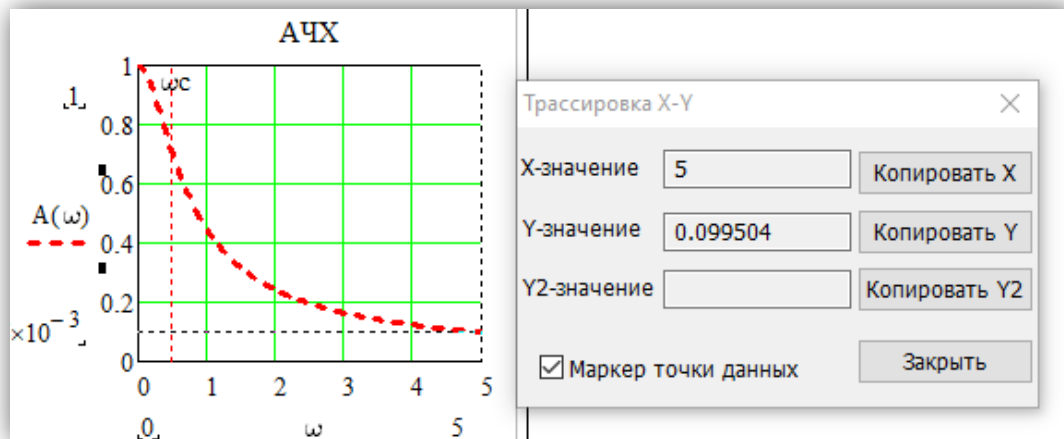


Рис 30.

- Логарифмическое усиление – Значение совпадает

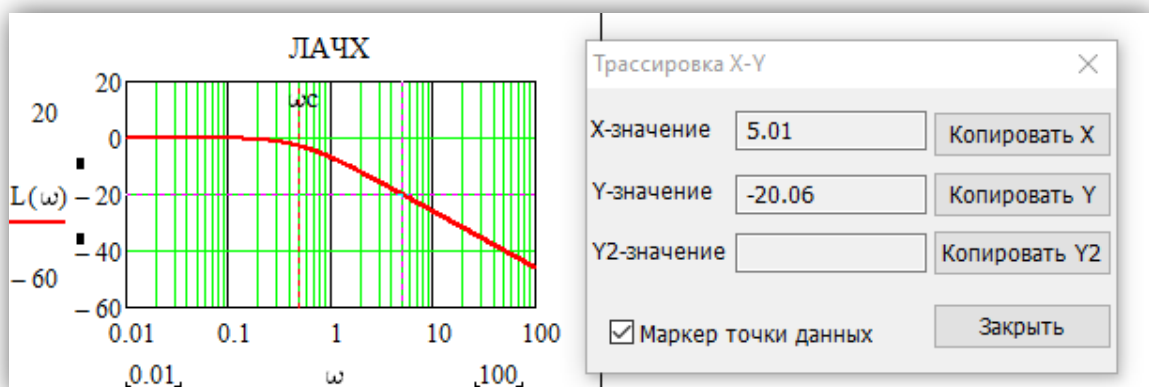


Рис 31.

- Фазовый сдвиг – Значение совпадает.

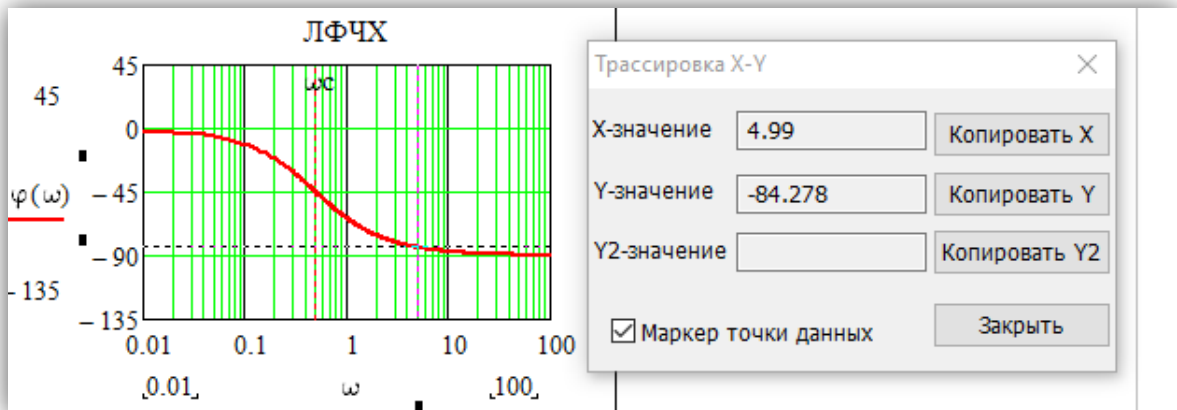


Рис 32.

5.4 Исследование временных характеристик

Исследуем реакции типового звена на негармонические входные воздействия — функции Дирака $\delta(t)$ и Хевисайда $1(t)$. Для этого подключим к схеме импульсный генератор.

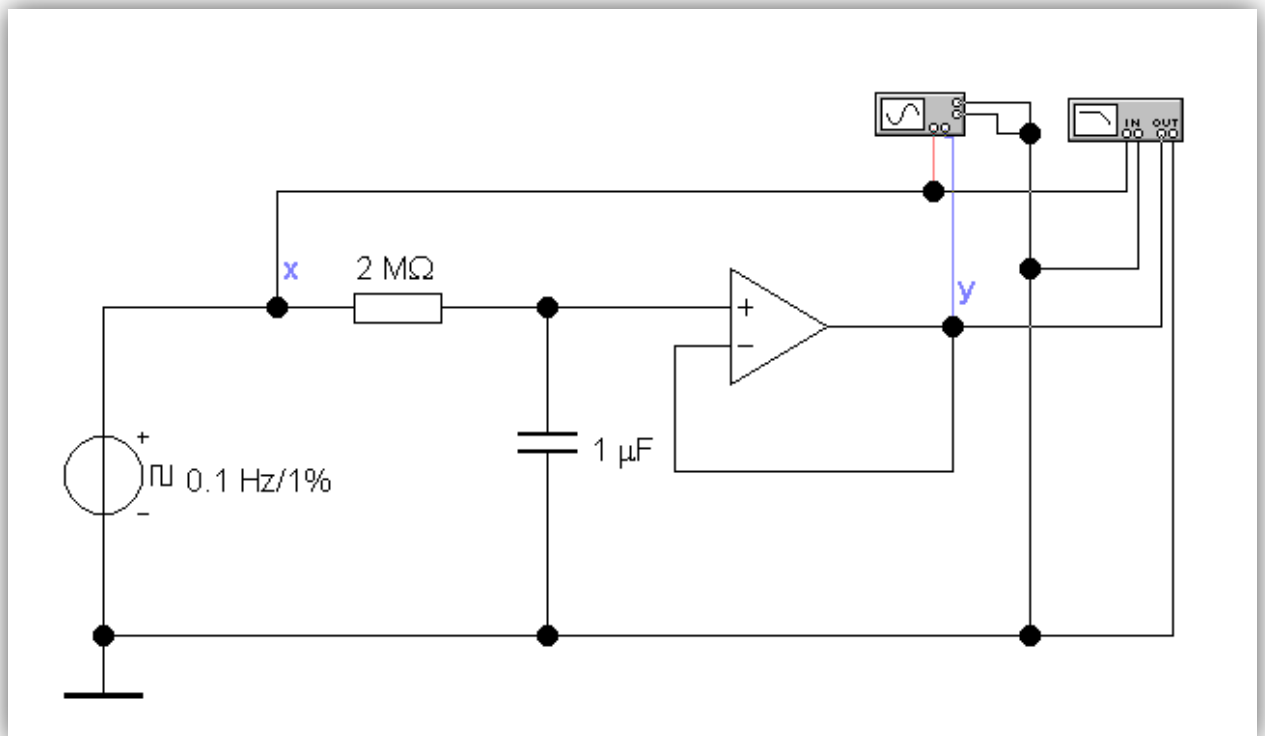


Рис 33.

Для формирования функции Дирака установим следующие параметры генератора:

❖ Частота – 0,1 Гц. Период импульсов должен быть больше времени установления \approx в 1,5 раза, чтобы можно было увидеть реакцию на функцию Дирака. Время установления равно $3T=6с$, период импульсов при выбранной частоте будет равен 10 с.

❖ Коэффициент заполнения - характеристика импульсных систем, определяющая отношение длительности импульса к периоду следования (повторения) импульсов. Установим 1% т.к. нам нужен максимально короткий импульс.

❖ Напряжение. Интеграл функции Дирака должен быть равен единице. Интеграл – площадь под графиком. Для обеспечения этого условия установим напряжение равное 10 В.

В промежутке между соседними импульсами на выходе схемы формируется приближение к импульсной характеристике $w(t)$, поскольку реальную дельта-функцию получить невозможно - значение напряжения не может быть в один момент равно нулю и бесконечности.

Полученный график (Рис 34) совпадает с графиком, построенным с помощью Mathcad (Рис 7).

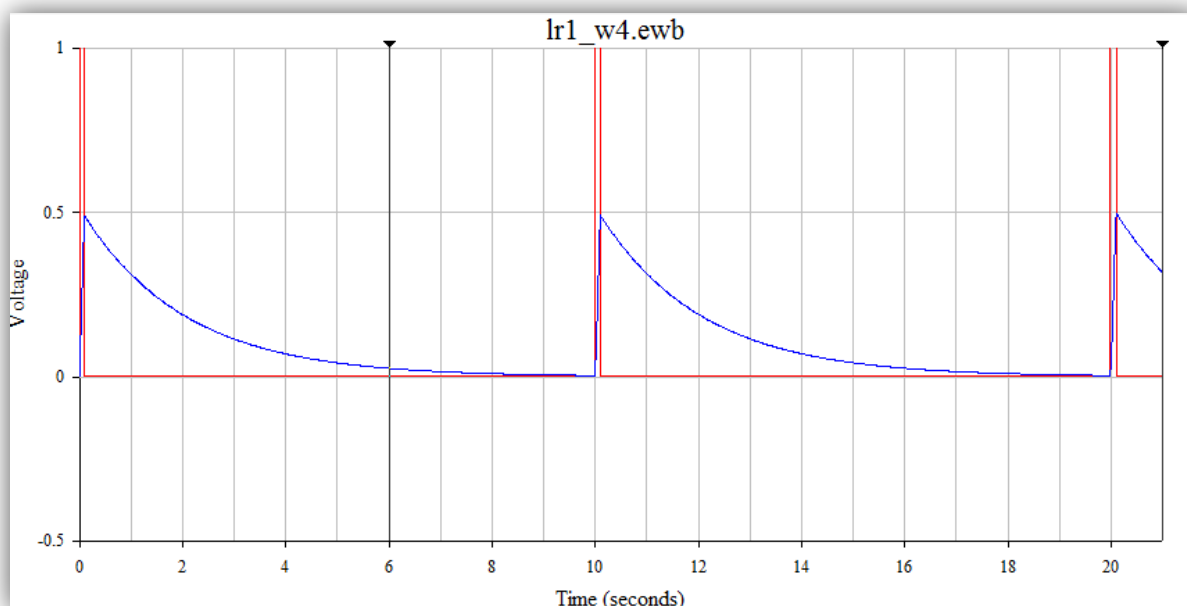


Рис 34.

Для формирования функции Хевисайда установим следующие параметры генератора:

❖ Частота – 0,1 Гц.

❖ Коэффициент заполнения - 100%. Поскольку значение функции при значении времени >0 должно быть равно единице.

❖ Напряжение – установим напряжение равное 1В.

Полученный график (Рис 35) совпадает с графиком, построенным с помощью Mathcad (Рис 9).

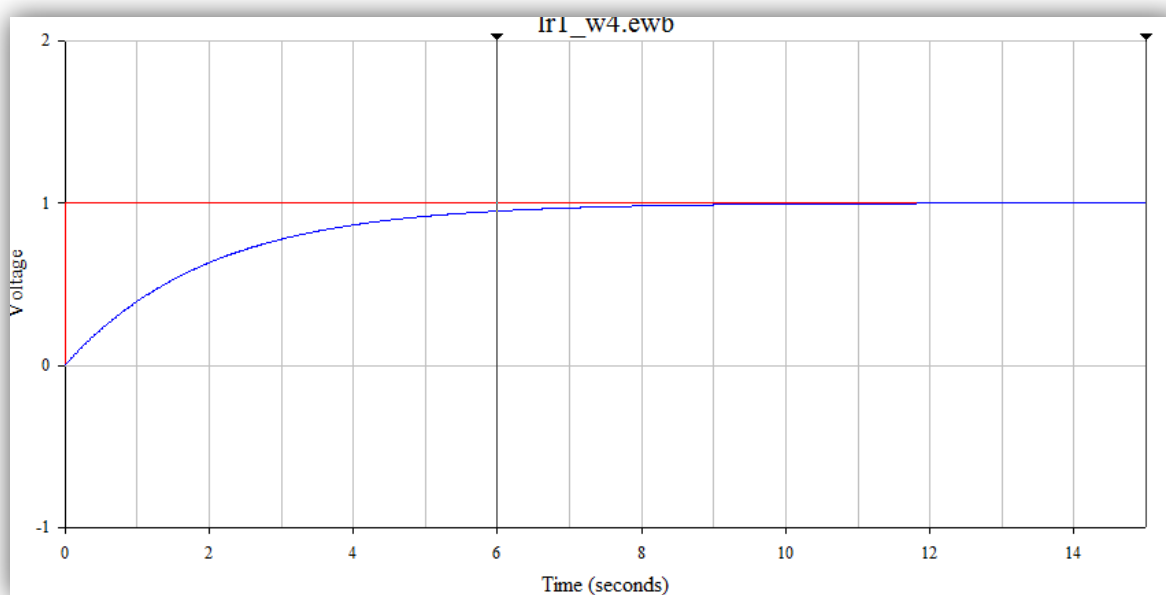


Рис 35.
Вертикальные движки на рис.34, 35 показывают время установления $t_y=6$ с.